



Эксперимент БЕККЕРЕЛЬ на ускорительном комплексе НУКЛОТРОН/NICA (Проект БЕККЕРЕЛЬ)

ШИФР ТЕМЫ: 02-1-1087-2009 / 2023

**Тема: Исследования по физике релятивистских тяжелых и легких ионов. Эксперименты на
ускорительном комплексе Нуклotron / NICA в ОИЯИ и ЦЕРН SPS**

**Д.А. Артеменков^a, В. Браднова^a, Е. Фиру^b, М. Хайдук^b, Н.В. Кондратьева^a,
Н.К. Корнегруца^a, Э. Мицова^{a,c}, А. Неагу^b, Н.Г. Пересадько^e, В.В.
Русакова^a, Р. Станоева^{c,d}, А.А. Зайцев^a, И.Г. Зарубина^a, П.И. Зарубин^{a*}**

^{a)}*Лаборатория физики высоких энергий*

Объединенный институт ядерных исследований (ОИЯИ), Дубна, Россия

^{b)}*Институт космических исследований, Мэгуреле, Румыния*

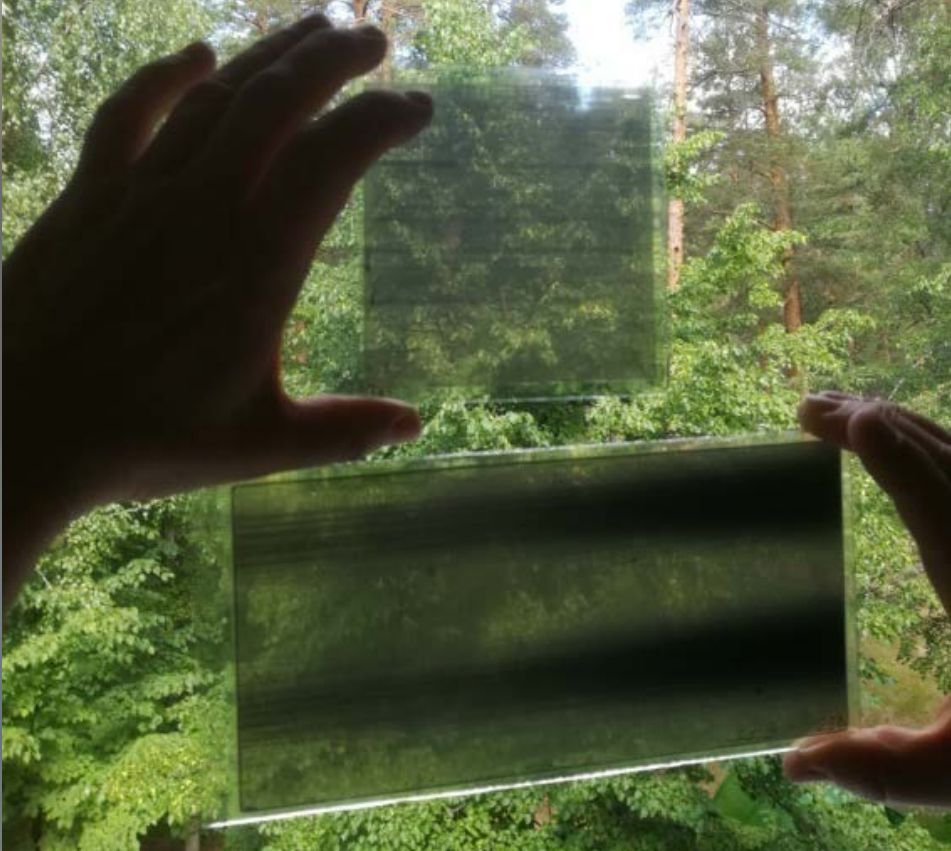
^{c)}*Юго-Западный университет, Благоевград, Болгария*

^{d)}*Институт ядерных исследований и ядерной энергии, София, Болгария*

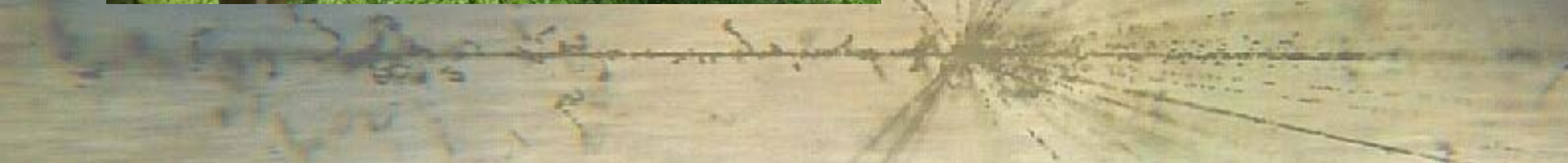
^{e)}*Физический институт Российской академии наук, г. Москва, Россия*

**РУКОВОДИТЕЛЬ ПРОЕКТА
ЗАМЕСТИТЕЛЬ РУКОВОДИТЕЛЯ**

**Зарубин П. И.
Зайцев А. А.**



Hair - $60 \mu m$
AgBr Crystal - $0.2 \mu m$
Atom - $10^{-4} \mu m$
Proton - $10^{-9} \mu m$

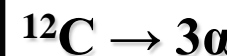
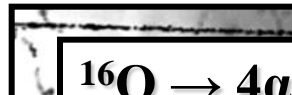


Эксперимент БЕККЕРЕЛЬ нацелен на решение актуальных проблем физики ядерных кластеров. Используемый метод ядерной эмульсии (ЯЭ) позволяет благодаря уникальной чувствительности и пространственному разрешению изучать в едином подходе множественные конечные состояния, возникающие в диссоциации релятивистских ядер. Прогресс на этом направлении опирается компьютеризованную микроскопию.

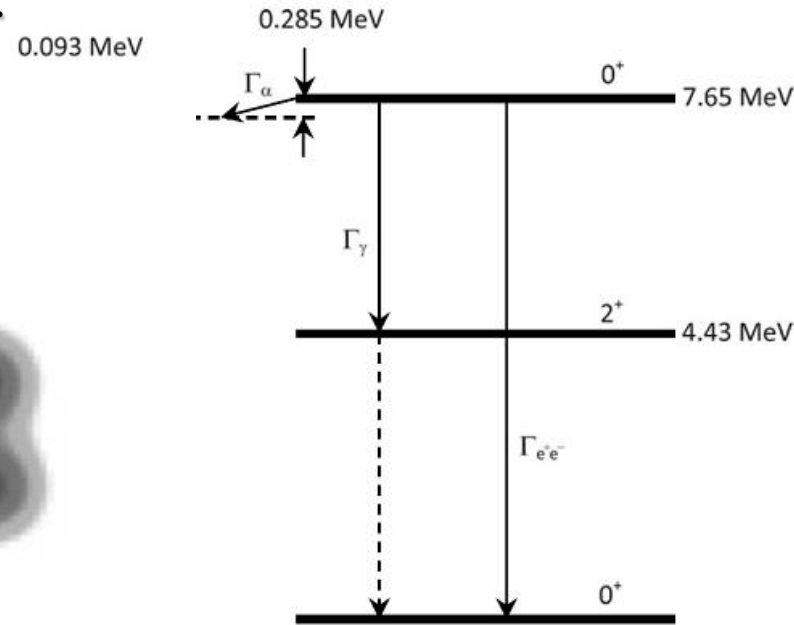
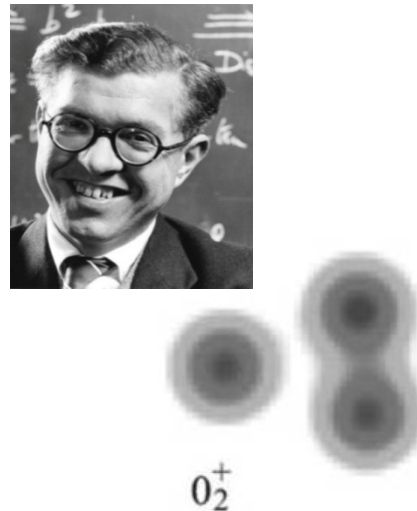
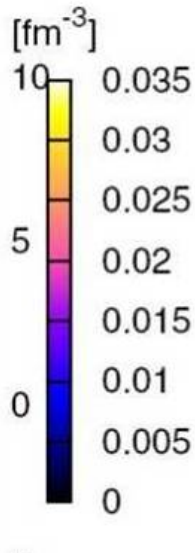
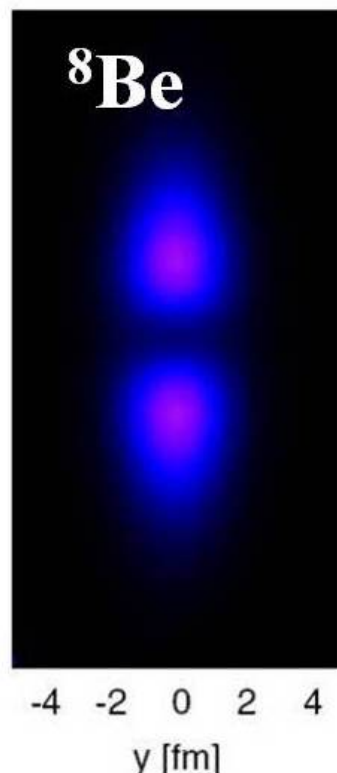


Генерация ансамблей, состоящих из нескольких ядер Не и Н возможна в периферической диссоциации релятивистских ядер. Потенциально, углубленное изучение их особенностей может пролить свет на актуальные вопросы ядерной физики нескольких тел. В фокусе теоретических разработок находится возможность существования состояний, обладающих выраженной а-конденсатной и ядерно-молекулярной структурой. В свою очередь находки соответствующих лабораторных поисков могли бы быть привлечены для развития многотельных сценариев ядерной астрофизики.

В слоях ЯЭ, продольно облученных релятивистскими ядрами, следы фрагментов могут наблюдаться с исчерпывающей полнотой, а их направления определяться с наилучшим разрешением. Определение инвариантной массы групп релятивистских фрагментов в приближении сохранения скорости начального ядра позволяет спроектировать угловые корреляции фрагментов на энергетический масштаб ядерной физики. Тем самым, на основе релятивистско-инвариантного подхода возникает новая и вместе с тем наглядная возможность экспериментального изучения ансамблей легчайших ядер сразу над порогом связи.



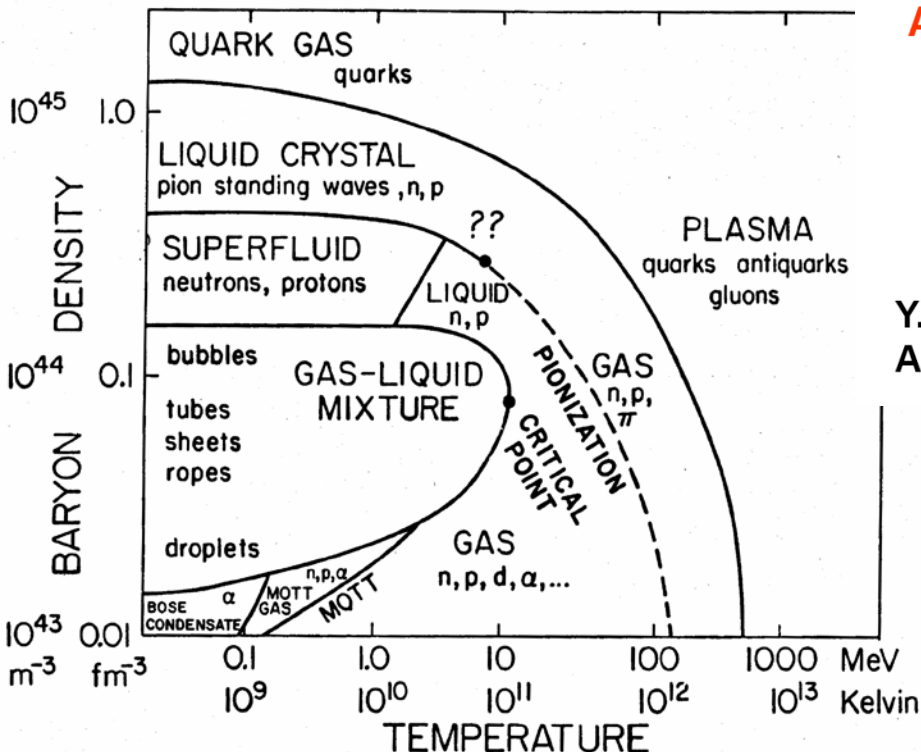
Энергия распада ${}^8\text{Be} \rightarrow 2\alpha$ составляет всего $E_{\text{th}}({}^8\text{Be}) = 91.8$ кэВ, а ширина $\Gamma({}^8\text{Be}) = 5.57 \pm 0.25$ эВ. Ядро ${}^8\text{Be}$ является непременным продуктом распада ${}^9\text{B}$ и HS. Основное состояние ${}^9\text{B}$ выше порога ${}^8\text{Be}$ на $E_{\text{th}}({}^9\text{B}) = 185.1$ кэВ при $\Gamma({}^9\text{B}) = 0.54 \pm 0.21$ кэВ [1]. Состояние HS является вторым (и первым α -несвязанным) возбуждением ядра ${}^{12}\text{C}$ (обзор [2]) при $E_{\text{th}}(\text{HS}) = 378$ кэВ над 3α -порогом. Значение $\Gamma(\text{HS}) = 9.3 \pm 0.9$ эВ соответствует по порядку величины ширине распада $\pi^0 \rightarrow 2\gamma$.



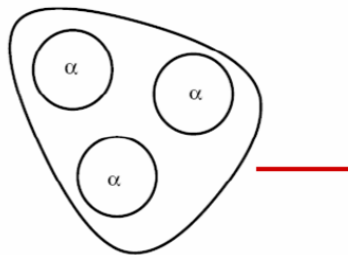
The Hoyle state

Обособленность HS от более высоких возбуждений ${}^{12}\text{C}$, указывают на него как 3α -аналог ${}^8\text{Be}$. Синтез ${}^{12}\text{C}$ возможен через слияние $3\alpha \rightarrow \alpha {}^8\text{Be} \rightarrow {}^{12}\text{C}(0_2^+) \rightarrow {}^{12}\text{C}(+2\gamma \text{ или } e^+e^-)$ с вероятностью порядка 10^{-4}). Дальнейший синтез $\alpha {}^{12}\text{C} \rightarrow {}^{16}\text{O}\gamma$ через подходящий по энергии уровень ${}^{16}\text{O}$, запрещен по четности. Однако, синтез возможен в последовательности ${}^{12}\text{C} {}^{12}\text{C} \rightarrow {}^{12}\text{C} {}^{12}\text{C}(0_2^+) \rightarrow {}^{16}\text{O} {}^8\text{Be}$. эти обстоятельства определяют отношение распространенности ${}^{12}\text{C}$ и ${}^{16}\text{O}$ во Вселенной. Все эти факты позволяют предположить важность более тяжелых нестабильных состояний в процессах ядерной астрофизики.

Alpha-Clusters in Nuclear Systems



If O_2^+ in ^{12}C dilute α -state



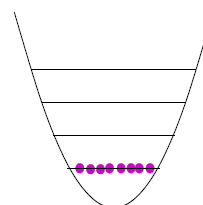
then α -condensate

infinite matter $\rho_{\text{crit}} \sim \frac{\rho_0}{3}$

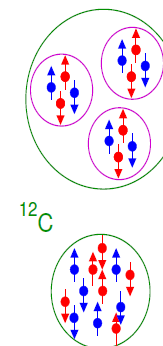
P. Schuck

Y. Funaki, H. Horiuchi, G. Röpke,
A. Tohsaki , W. von Oertzen and T. Yamada

Bosons

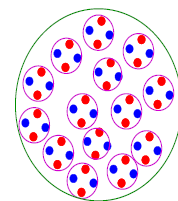


Back to nuclei



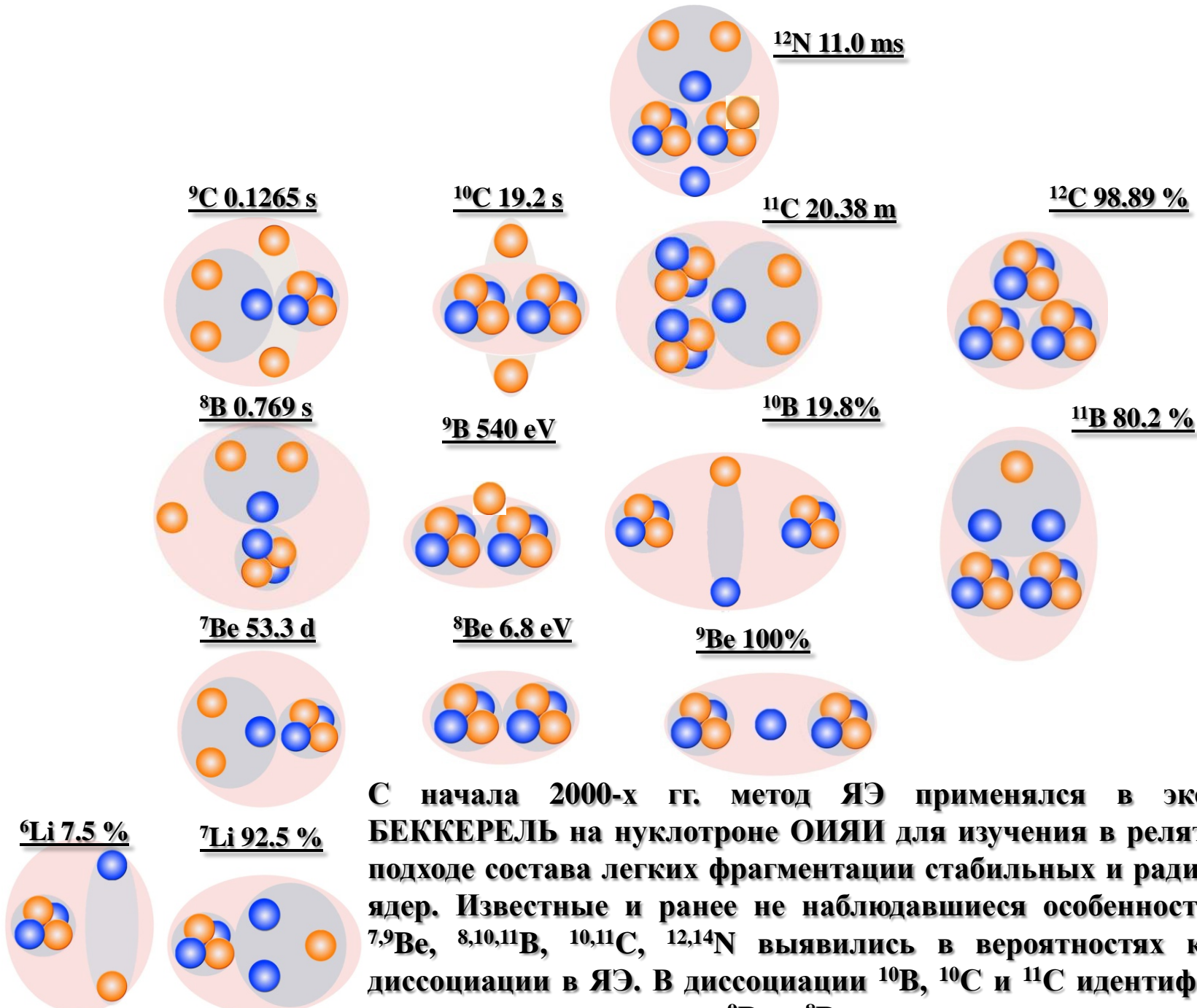
0_2^+ 7.65 MeV
 ^{12}C
 0_1^+

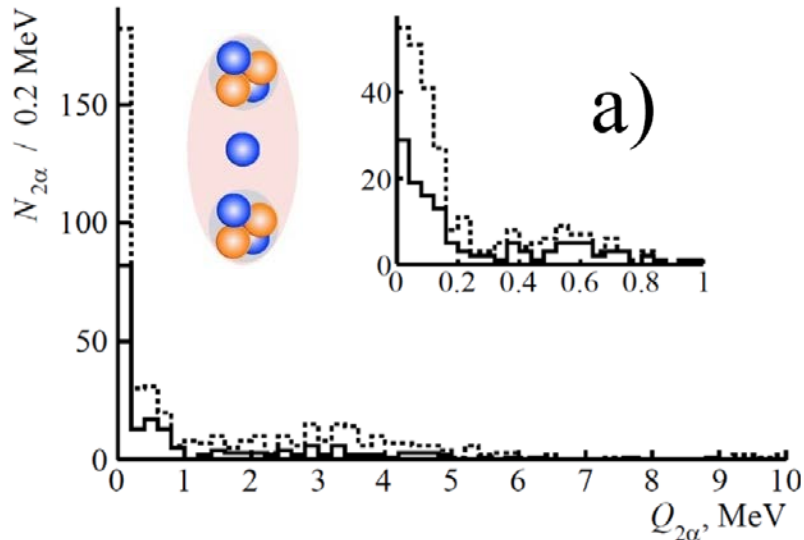
many α 's
→ condensate



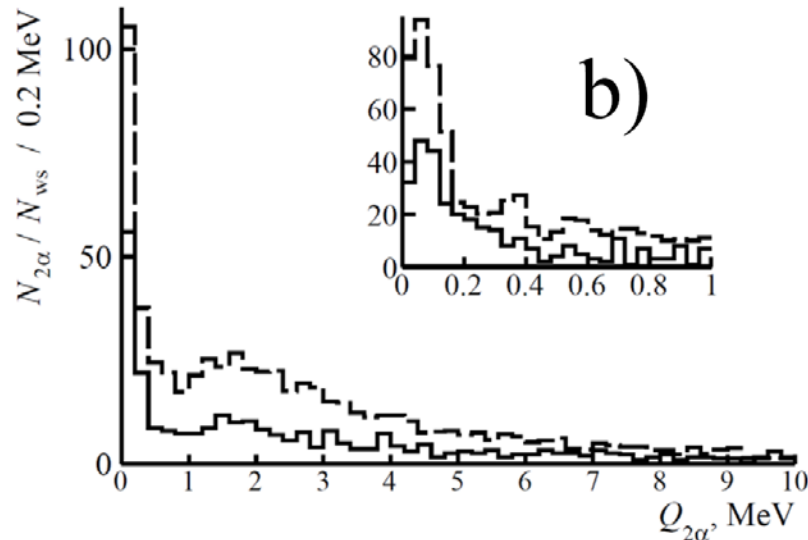
strong cluster phenomena in lighter nuclei

В настоящее время в фокусе исследования находится концепция α -частичного конденсата Бозе-Эйнштейна (α БЕС) – предельно холодного состояния нескольких S-волновых α -частиц вблизи порогов связи. Нестабильное ядро ^{8}Be описывается как 2α БЕС, а возбуждение $^{12}\text{C}(0_2^+)$ или состояние Хойла (HS) как 3α БЕС. Распады $^{8}\text{Be} \rightarrow 2\alpha$ и $^{12}\text{C}(0_2^+) \rightarrow ^{8}\text{Be}\alpha$ могут служить сигнатурами более сложных распадов $n\alpha$ БЕС. Так состояние 0_6^+ ядра ^{16}O при 660 кэВ над 4α -порогом, рассматриваемое как 4α БЕС, может последовательно распадаться $^{16}\text{O}(0_6^+) \rightarrow \alpha^{12}\text{C}(0_2^+)$ или $^{16}\text{O}(0_6^+) \rightarrow 2^{8}\text{Be}(0^+)$. Его поиски ведутся в нескольких экспериментах по фрагментации легких ядер при низких энергиях. Подтверждение существования этой и более сложных форм α БЕС могло бы дать основу для расширения сценариев синтеза средних и тяжелых ядер в ядерной астрофизике.

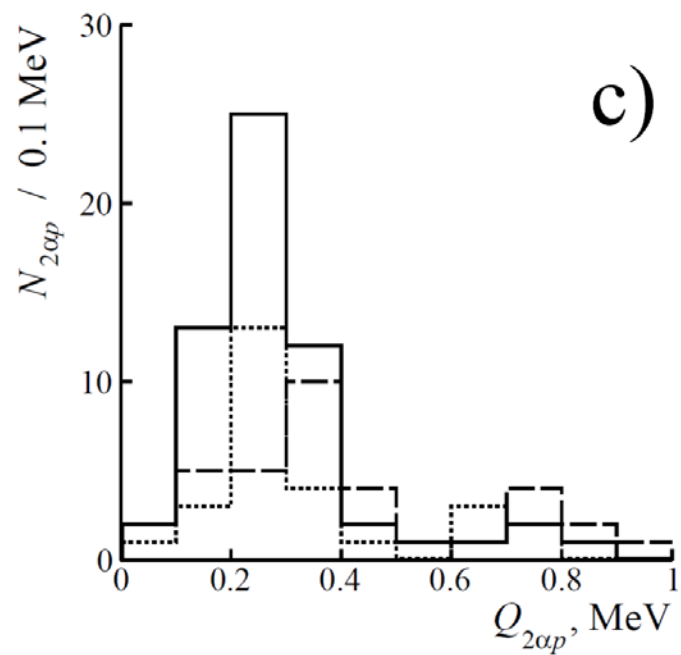




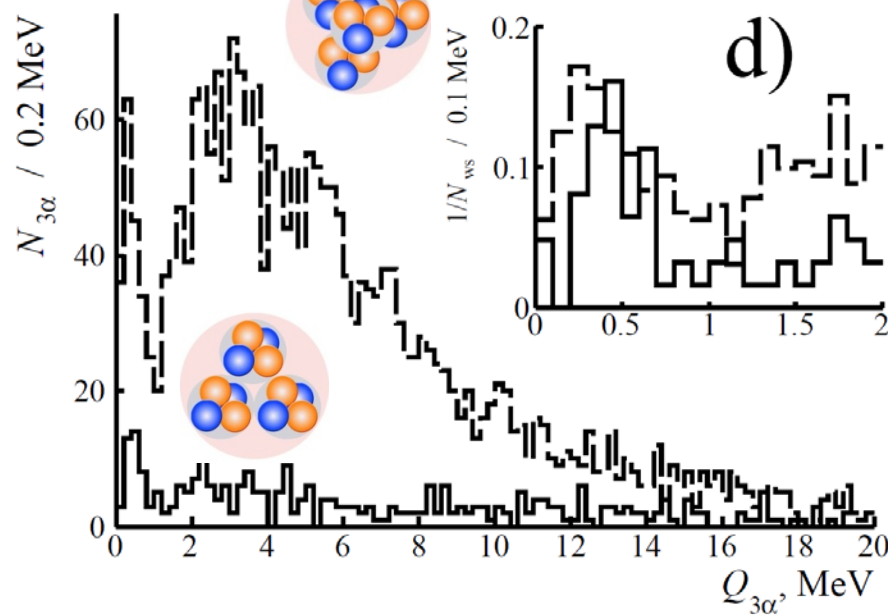
a)



b)

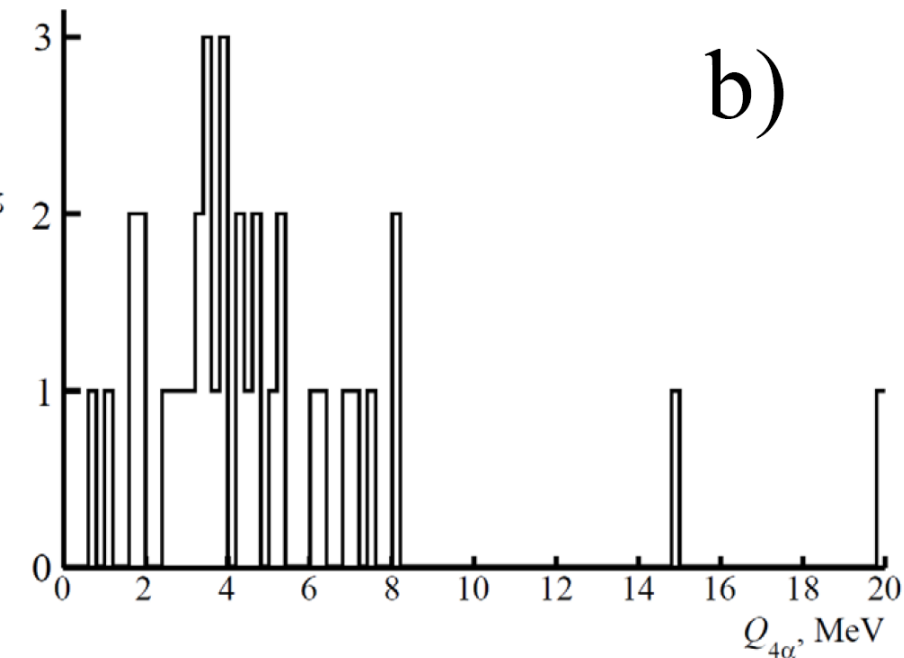
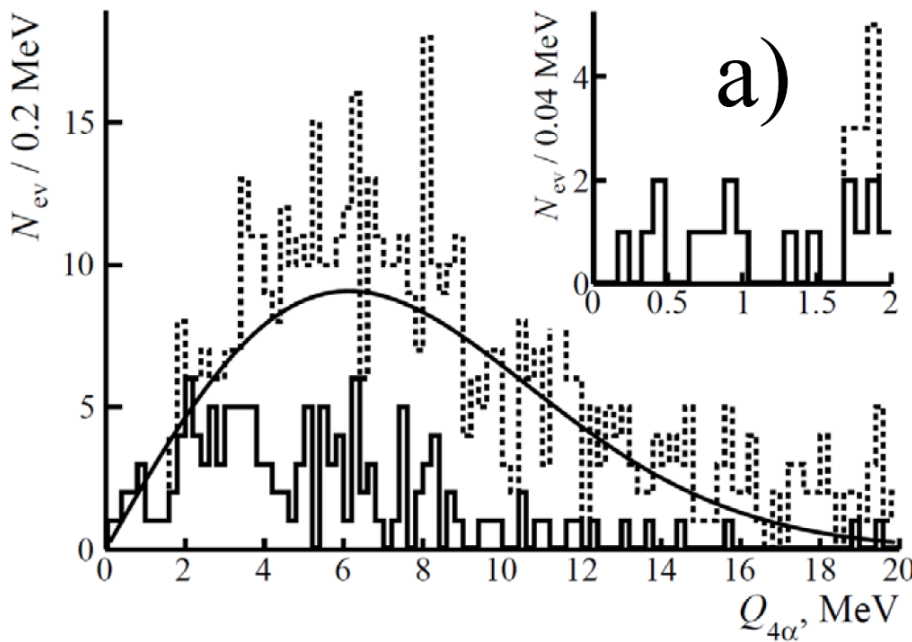


c)



d)

Распределения по инвариантной массе [12]: а) $Q_{2\alpha}$ в ${}^9\text{Be}(1.2 \text{ A ГэВ}) \rightarrow 2\alpha$ (пунктир, сплошная – “белые” звезды; б) $Q_{2\alpha}$ в ${}^{12}\text{C}(3.65 \text{ A ГэВ}) \rightarrow 3\alpha$ (сплошная) и ${}^{16}\text{O}(3.65 \text{ A ГэВ}) \rightarrow 4\alpha$ (пунктир); в) $Q_{2\alpha p} (< 1 \text{ МэВ})$ в ${}^{10}\text{C}(1.2 \text{ A ГэВ}) \rightarrow 2\alpha 2p$ (сплошная) и ${}^{11}\text{C}(1.2 \text{ A ГэВ}) \rightarrow 2\alpha 2p$ (точки) и ${}^{10}\text{B}(1 \text{ A ГэВ}) \rightarrow 2\alpha p$ (пунктир); г) $Q_{3\alpha}$ в ${}^{12}\text{C}(3.65 \text{ A ГэВ}) \rightarrow 3\alpha$ (сплошная) и ${}^{16}\text{O}(3.65 \text{ A ГэВ}) \rightarrow 4\alpha$ (пунктир).



Существует возможность возникновения HS через α -распад $^{16}\text{O}(0^+_6)$. Распределение “белых” звезд $^{16}\text{O} \rightarrow 4\alpha$ по инвариантной массе 4α -квартетов $Q_{4\alpha}$ в основной части описывается распределением Рэлея с параметром $\sigma_{Q_{4\alpha}} = (6.1 \pm 0.2)$ МэВ. Условие $Q_{3\alpha}(\text{HS}) < 700$ кэВ смещает распределение по $Q_{4\alpha}$ в низкоэнергетическую сторону. Увеличенный вид распределения по $Q_{4\alpha}$ указывает на 9 событий, удовлетворяющих $Q_{4\alpha} < 1$ МэВ и имеющих среднее значение $\langle Q_{4\alpha} \rangle$ (RMS) = 624 ± 84 (252) кэВ. Тогда оценка вклада распадов $^{16}\text{O}(0^+_6) \rightarrow \alpha + \text{HS}$ составляет $1.4 \pm 0.5\%$ при нормировке на $N_{ws}(^{16}\text{O})$ и $7 \pm 2\%$ при нормировке на $N_{\text{HS}}(^{16}\text{O})$.

Идентифицированы 33 события $^{16}\text{O} \rightarrow ^{28}\text{Be}$, что составляет $5 \pm 1\%$ “белых” звезд $^{16}\text{O} \rightarrow 4\alpha$. Тогда статистика $^{16}\text{O} \rightarrow ^{28}\text{Be}$ и $^{16}\text{O} \rightarrow \alpha\text{HS}$ имеет отношение 0.22 ± 0.02 . Распределение по инвариантной массе $Q_{4\alpha}$ событий $^{16}\text{O} \rightarrow ^{28}\text{Be}$, представленное на рис. б, указывает на два кандидата $^{16}\text{O}(0^+_6) \rightarrow ^{28}\text{Be}$ в области $Q_{4\alpha} < 1.0$ МэВ. Оценка отношения вероятности каналов $^{16}\text{O}(0^+_6) \rightarrow ^{28}\text{Be}$ и $^{16}\text{O}(0^+_6) \rightarrow \alpha\text{HS}$ составляет 0.22 ± 0.17 .

Анализ “белых” звезд $^{12}\text{C} \rightarrow 3\alpha$ и $^{16}\text{O} \rightarrow 4$, не сопровождаемых фрагментами мишени, позволил установить, что доля событий, содержащих распады ^8Be (HS) составляет $45 \pm 4\%$ ($11 \pm 3\%$) для ^{12}C и $62 \pm 3\%$ ($22 \pm 2\%$) для ^{16}O . Можно усмотреть, что рост 2α - и 3α -комбинаций усиливает вклада ^8Be и HS. Это наблюдения заслуживает проверки для более тяжелых ядер, когда а-комбинаторика стремительно нарастает с массовым числом.

Можно предположить присутствие нестабильных состояний как виртуальных компонент в родительских ядрах, проявляющихся в релятивистской фрагментации. Однако, сохранение такой универсальности с ростом массового числа исследуемых ядер представляется все более проблематичным.

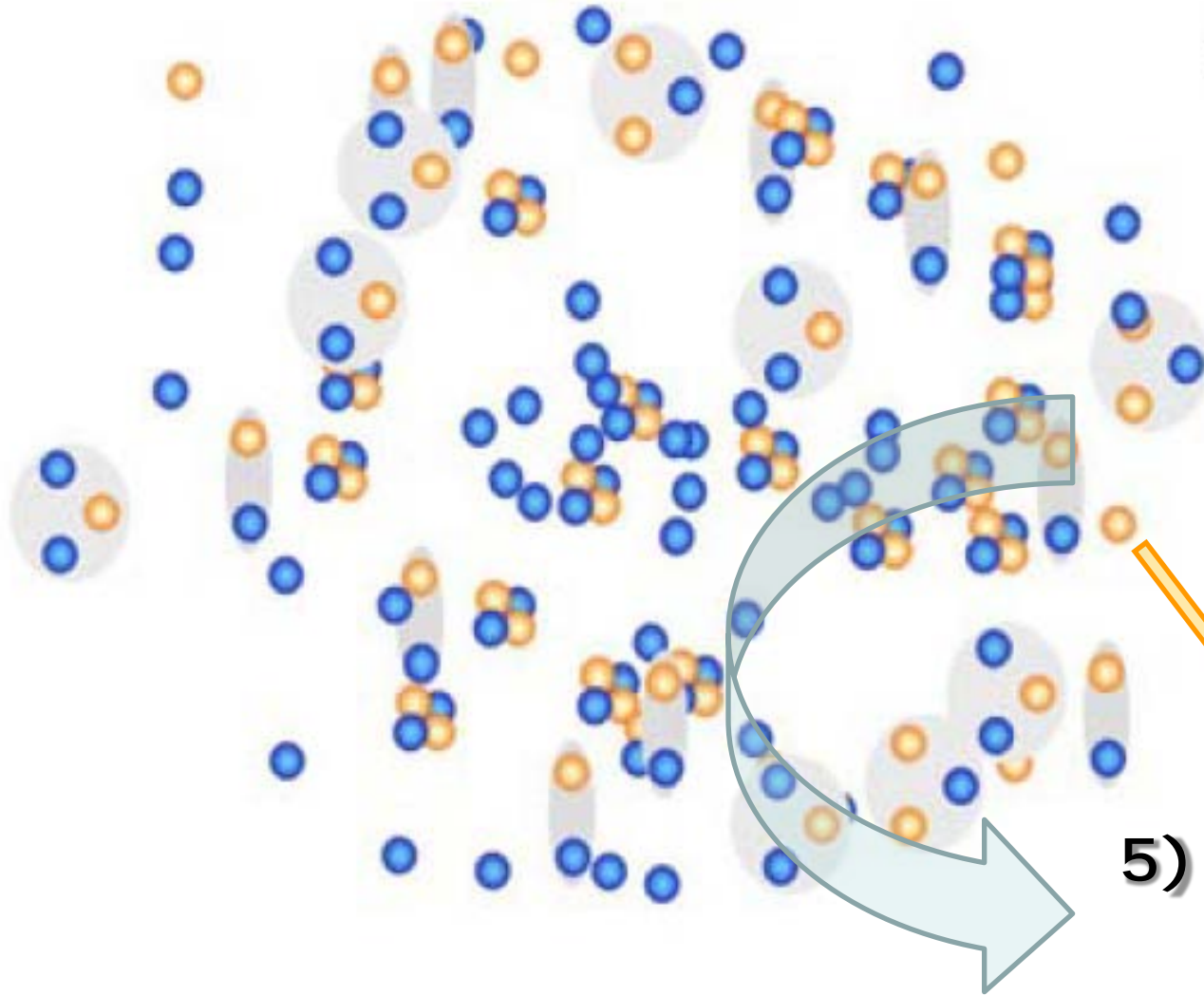
Альтернатива состоит в образовании ^8Be при взаимодействии в конечном состоянии рожденных α -частиц и последующим подхватом сопровождающих α -частиц и нуклонов с испусканием необходимых γ -квантов. Следствием такого сценария стало бы возрастание выхода ^8Be с множественностью α -частиц в событии, а возможно ^9B и HS, распадающихся через ^8Be .

Цель настоящего исследования состоит в выявлении связи между образованием нестабильных состояний и сопровождающей множественностью.

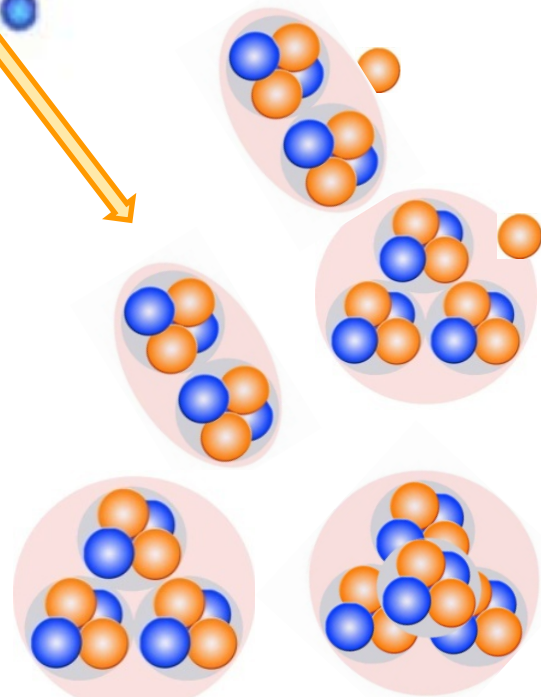


Au 10.7 ГэВ/нуклон

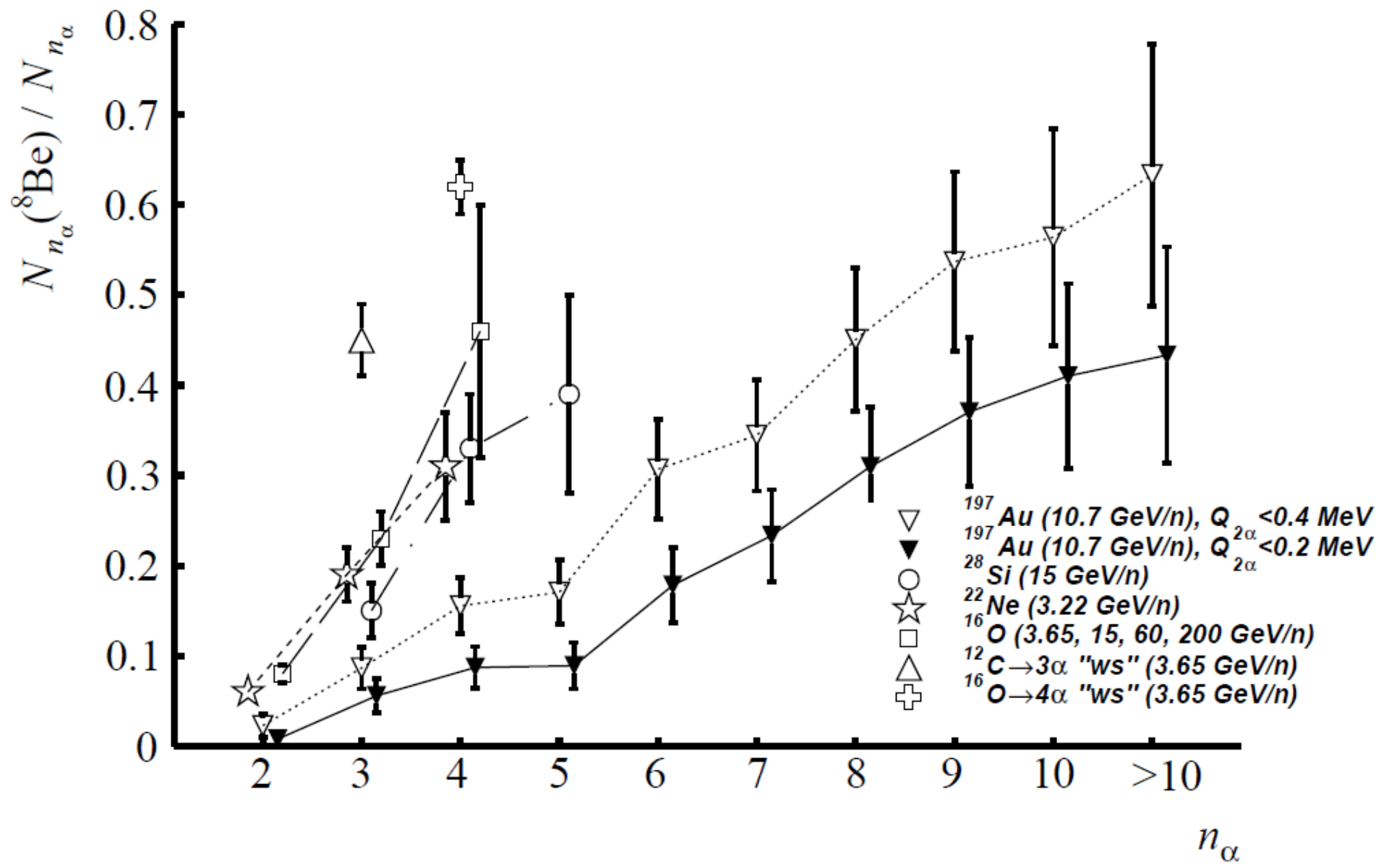
4)



5)



Недавно на статистике десятков распадов ${}^8\text{Be}$ обнаружено возрастание вероятности обнаружения ${}^8\text{Be}$ в событии с ростом числа релятивистских α -частиц. Сделан предварительный вывод о том, что вклады распадов ${}^9\text{B}$ и HS также растут. Экзотически большие размеры и времена жизни ${}^8\text{Be}$ и HS позволяют предположить возможность синтеза аВЕС последовательным соединением возникающих α -частиц $2\alpha \rightarrow {}^8\text{Be}, {}^8\text{Be}\alpha \rightarrow {}^{12}\text{C}(0^+_2), {}^{12}\text{C}(0^+_2)\alpha \rightarrow {}^{16}\text{O}(0^+_6), 2{}^8\text{Be} \rightarrow {}^{16}\text{O}(0^+_6)$ и далее с вероятностью, падающей на каждом шаге, при испускании γ -квантов или частиц отдачи.

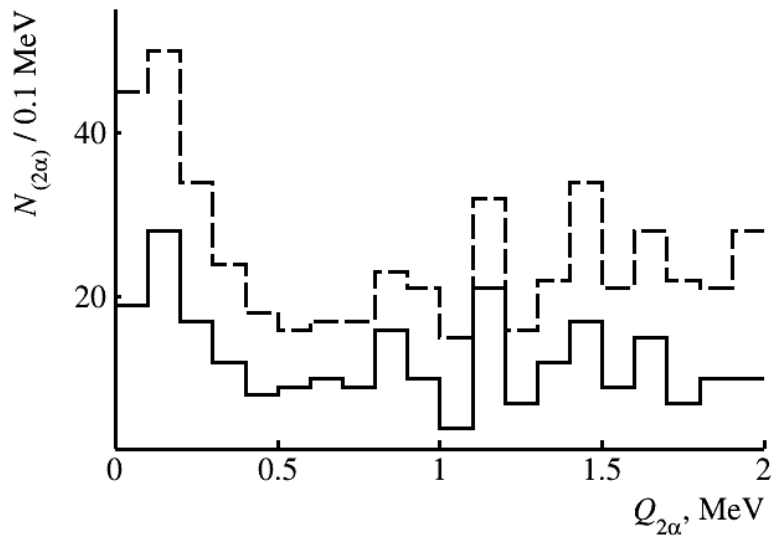


Зависимость относительного вклада распадов $N_{n\alpha}(^8\text{Be})$ в статистику $N_{n\alpha}$ событий с множественностью α -частиц n_α в релятивистской фрагментации ядер C, O, Ne, Si и Au

Статистика событий, содержащих не менее одного кандидата в распад ${}^8\text{Be}$, HS или ${}^9\text{B}$ или не менее двух ${}^8\text{Be}$ при условии $Q_{2a}({}^8\text{Be}) \leq 0.4$ МэВ среди N_{na} событий фрагментации ядер ${}^{197}\text{Au}$ с множественностью n_a ; курсивом выделена суммарная статистика каналов $n_a \geq 11$.

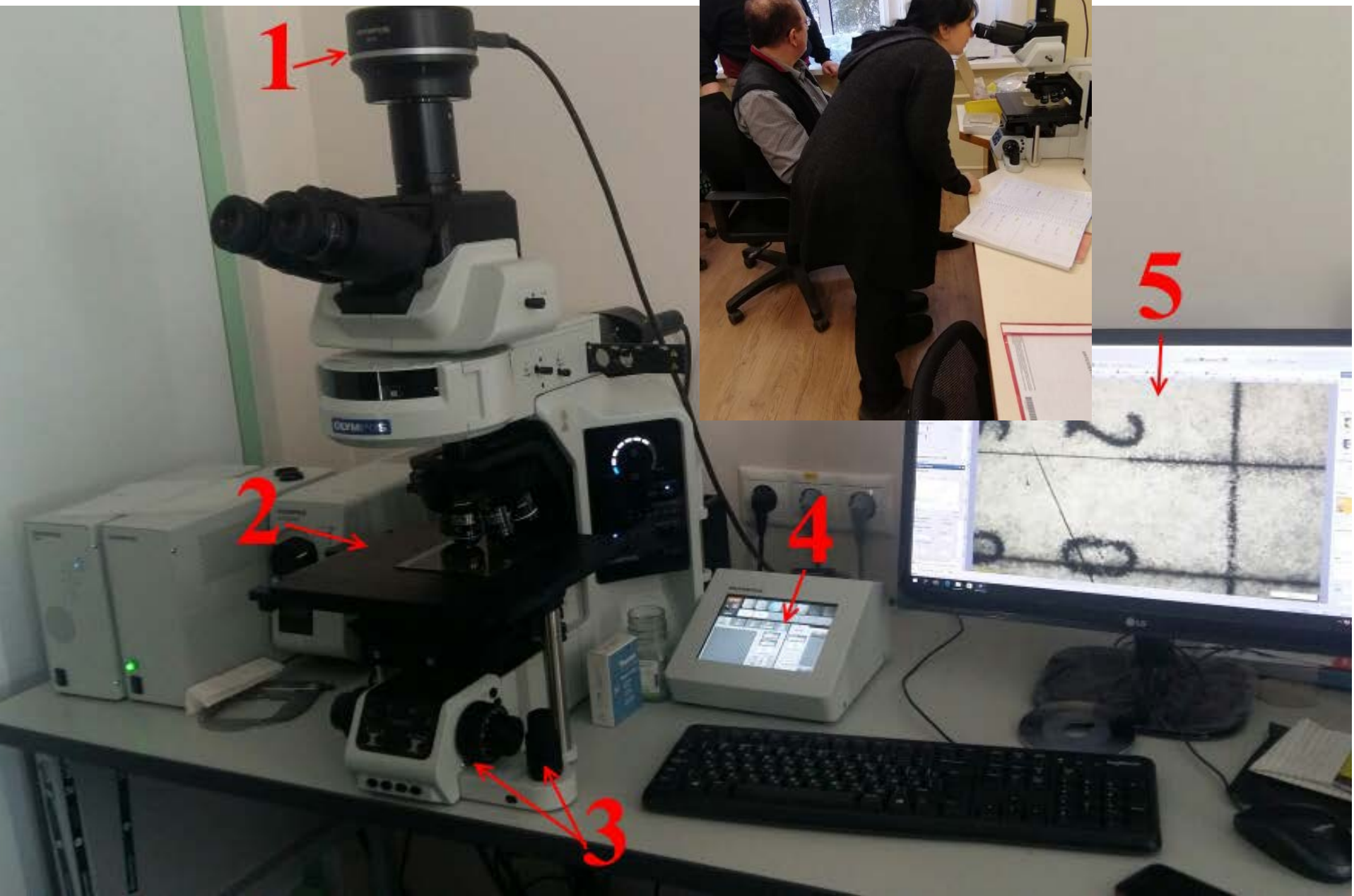
n_a	$N_{na}({}^8\text{Be})/N_{na}$ (% N_{na})	$N_{na}({}^9\text{B})$ (% $N_{na}({}^8\text{Be})$)	$N_{na}(\text{HS})$ (% $N_{na}({}^8\text{Be})$)	$N_{na}(2{}^8\text{Be})$ (% $N_{na}({}^8\text{Be})$)
2	3/133 (2 ± 1)	-	-	-
3	14/162 (9 ± 3)	1 (7)	-	-
4	25/161 (16 ± 4)	7 (28 ± 12)	2 (8 ± 6)	-
5	23/135 (17 ± 4)	5 (22 ± 11)	-	1 (4)
6	31/101 (31 ± 7)	9 (29 ± 11)	2 (6 ± 4)	-
7	31/90 (34 ± 7)	6 (19 ± 9)	2 (6 ± 4)	3 (10 ± 6)
8	32/71 (45 ± 10)	8 (25 ± 10)	2 (6 ± 4)	2 (7 ± 5)
9	29/54 (54 ± 13)	9 (31 ± 12)	3 (10 ± 6)	5(17 ± 8)
10	22/39 (56 ± 15)	4 (18 ± 10)	-	5(23 ± 12)
11	10/15 (67 ± 27) 19/30 (63 ± 19)	3 (30 ± 20) 7 (37 ± 16)	1 (10) 2(11 ± 8)	2(20 ± 16) 6 (32 ± 15)
12	2/5	1	-	1
13	2/4	1	-	1
14	3/3	1	-	1
15	1/1	-	-	-
16	1/2	1	1	1

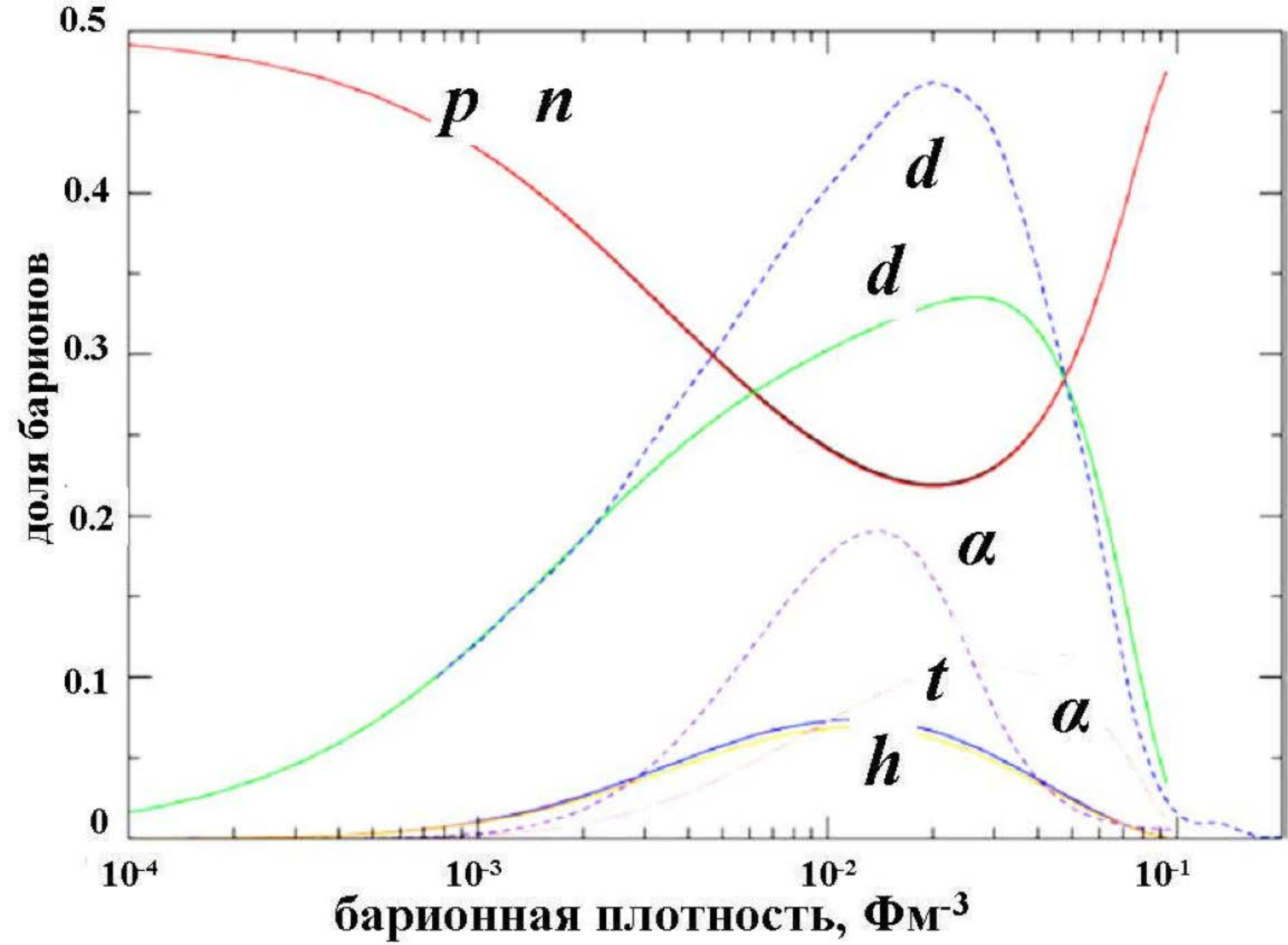
Сейчас статистика событий n_a наращивается путем поперечного сканирования слоев ЯЭ облученных ядрами ^{84}Kr при 950 МэВ/нуклон (ГСИ, начало 90-х). Согласно программе SRIM торможение на длинах до 6 см примерно равномерны и составляют около 9 МэВ/мм (полный пробег около 8 см). Этот эффект может быть учтен по положениям вершин при вычислении инвариантной массы. Кроме того, торможение увеличивает углы испускания фрагментов, делая удобнее измерения. Импульс фрагментов взят с множителем 0.8, чтобы приблизительно учесть сброс начального значения во взаимодействии. Не будучи принципиальной для отбора $Q_{2\alpha}(^{8}\text{Be}) \leq 0.4$ МэВ, эта поправка позволяет сохранить положение событий в пике O_* ($\text{HS} \rightarrow ^8\text{Be}a$).



Распределение 85 событий $n_a > 3$ по $Q_{2\alpha}$. Добавлены ранние измерения 184 взаимодействий $n_a > 3$, для которых информация о положении вершины отсутствует, в предположении энергии 875 МэВ на нуклон. Отношения $N_{na}(^{8}\text{Be})$ и N_{na} (%) по обеим выборкам составляют $n_a = 4 (24 \pm 6), 5 (27 \pm 6), 6 (53 \pm 15)$ и сумме $n_a > 6 (64 \pm 14)$. В новой выборке присутствует событие 2^{8}Be при $n_a = 6$, изолированное в начальной части спектра Q_{4a} при 0.6 МэВ.

Проблема 4 α ВЕС требует не менее 10-кратного наращивания статистики, что реально с применением моторизованного микроскопа Olympus BX63. На ближайшее время эксперимент БЕККЕРЕЛЬ сосредотачивается на анализе облучения ядрами ^{84}Kr при энергии 950 МэВ на нуклон для исследования усиления и поиска неизвестных нестабильных состояний. Ускорение накопления статистики событий множественной α -частичной фрагментации обеспечивается поперечным сканированием слоев ЯЭ. Коррекция на торможение при вычислении инвариантной массы происходит согласно положению вершин, чтобы использовать большую часть объема ЯЭ. Как развитее крайне желательно облучение ЯЭ наиболее тяжелыми ядрами энергией несколько ГэВ на нуклон.



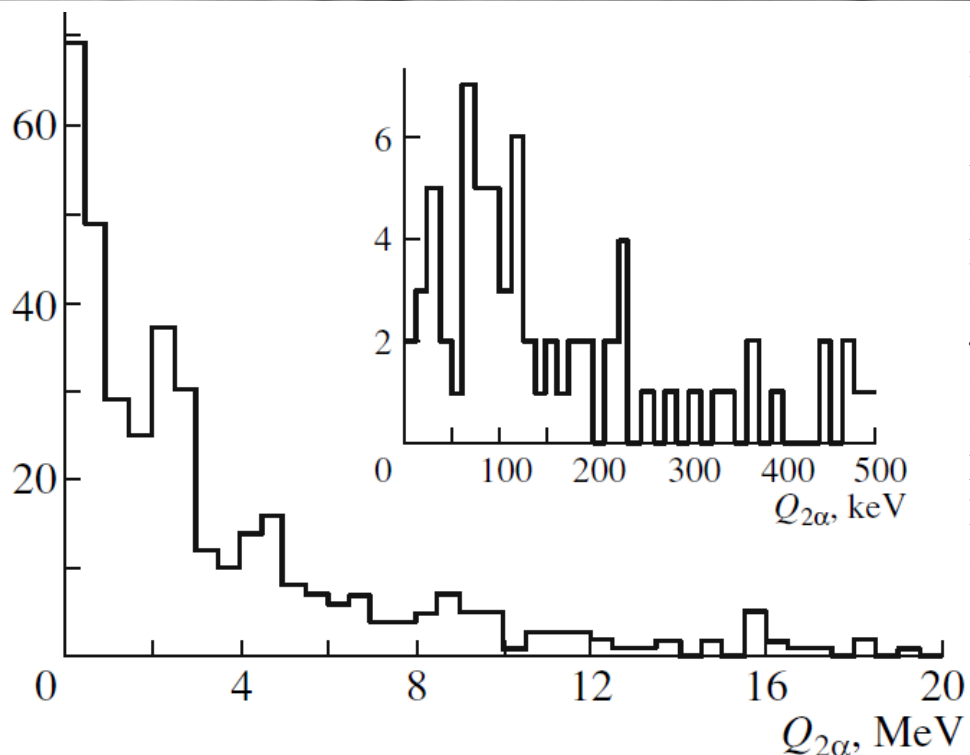


^{14}N

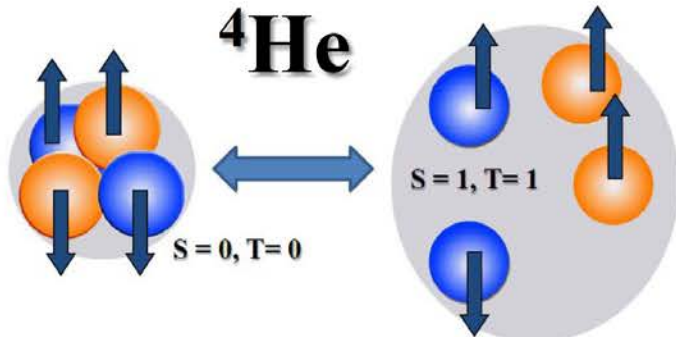
V

 $^{14}\text{N} \rightarrow 3\text{HeH}$ 

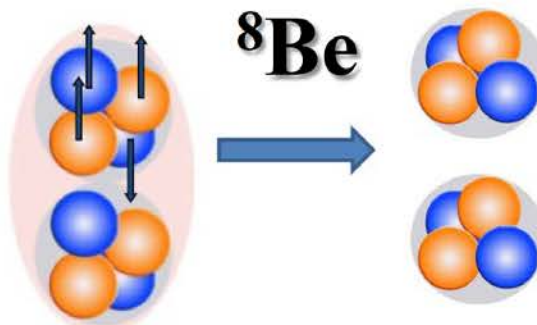
H

 2He He 

В настоящее время внимание сосредоточено на слоях ЯЭ, облученные на нуклotronе ОИЯИ ядрами ^{14}N с энергией 2.0 ГэВ на нуклон. Ранее при прослеживании следов ^{14}N установлено распределение по каналам с фрагментами примерным сохранением заряда и выявлено лидирование среди них канала 3HeH . Статистика событий, увеличенная путем поперечного сканирования, дала 25-30% распадов $^{8}\text{Be} \rightarrow 2\alpha$ [4]. Имеющаяся статистика событий $^{10}\text{B} \rightarrow 2\text{He}$ при 1 ГэВ на нуклон позволяет выполнить сравнение соседних нечетно-нечетных ядер ^{14}N и ^{10}B , включая вклады ^{8}Be и ^{9}B .



a)

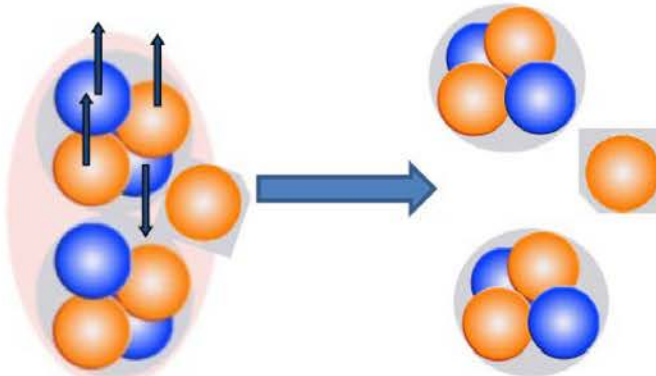


b)

$^8\text{B}^*(16.6 + 16.9, 108 + 74 \text{ keV. } J^\pi = 2^+, T = 0 + 1)$

c)

$^9\text{B}^*(14.655, 0.395 \text{ keV. } J^\pi = 3/2^-, T = 3/2)$

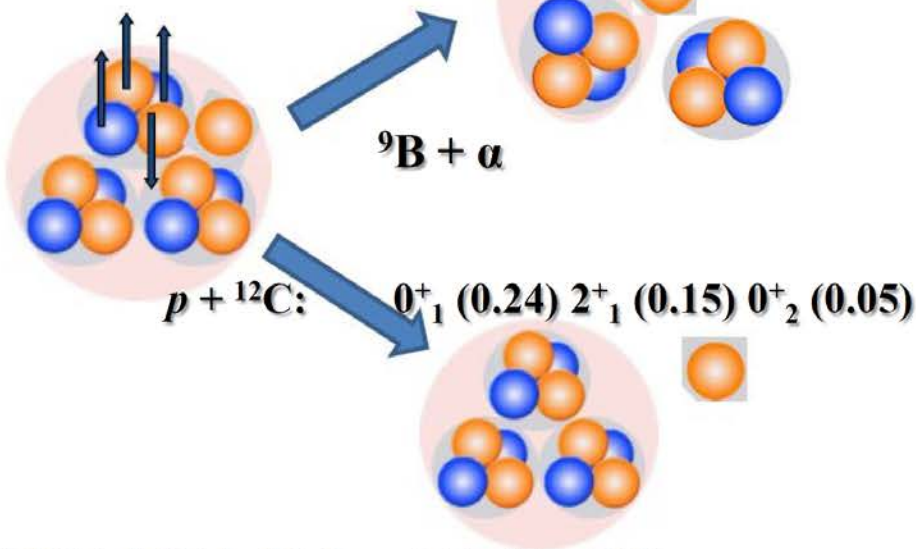


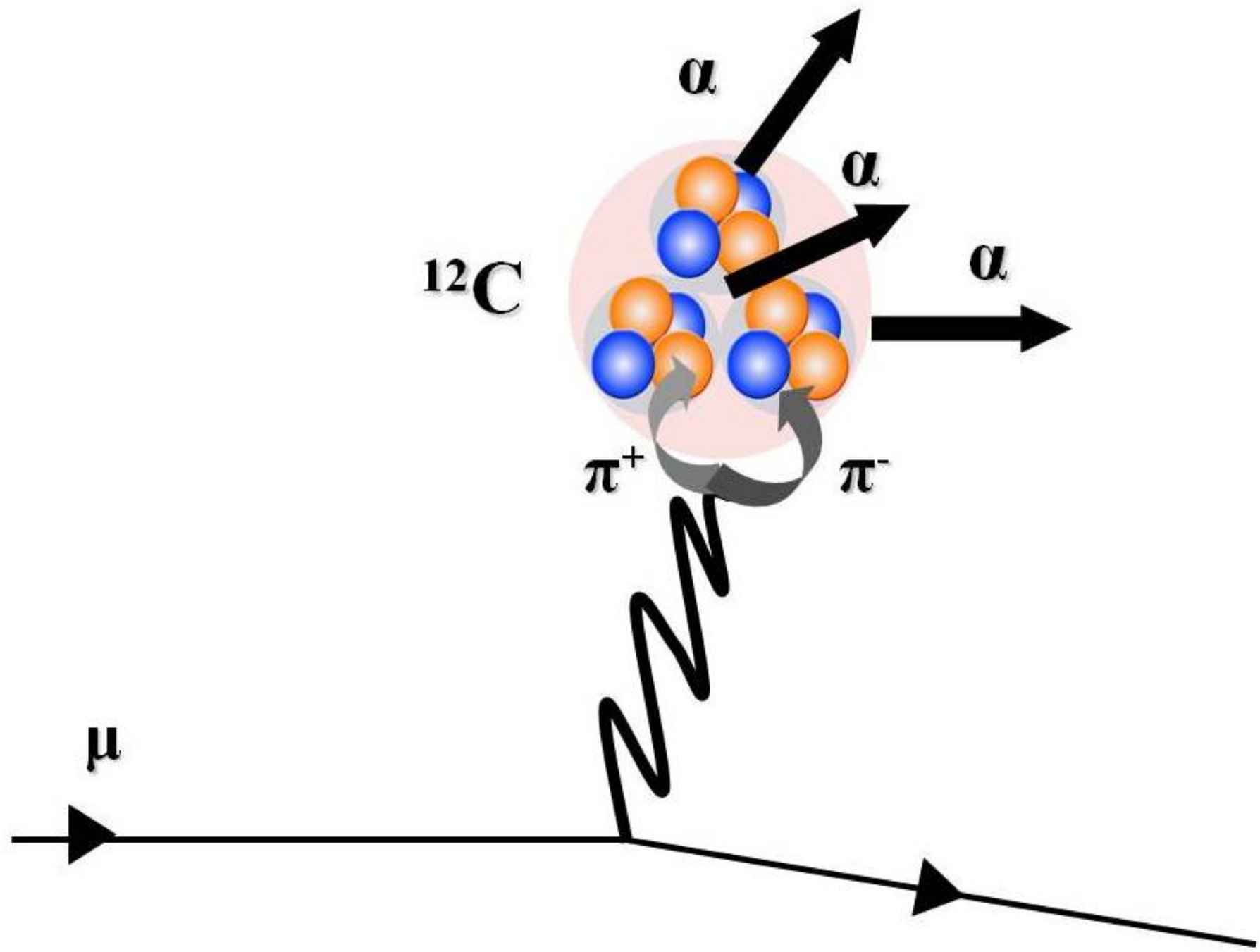
$^9\text{B}(J^\pi = 1/2^-, T = 1/2)$

$^{13}\text{N}^*(15.065, 0.86 \text{ keV. } J^\pi = 3/2^-, T = 3/2)$

d)

$^{13}\text{N}(J^\pi = 1/2^-, T = 1/2)$





Ожидаемые результаты и их значимость

Недавние достижения эксперимента БЕККЕРЕЛЬ и сохраненная микроскопная и химико-технологическая основа дают основания ожидать в перспективе около трех лет следующих физических и методических результатов:

Эксперимент БЕККЕРЕЛЬ сосредотачивается на фрагментации ядер ^{84}Kr при энергии до 950 МэВ на нуклон для исследования динамики возникновений ядра ^{8}Be и состояние Хойла и поиска распадающихся через них α -частичного конденсата. Основу для выводов составит статистика порядка 1000 измеренных событий с числом релятивистских α -частиц свыше трех.

Будет использован моторизованный микроскоп Olympus BX63, освоение возможностей которого станет особым методическим вызовом.

Будет получен ответ на вопрос об универсальном характере образования троек α -частиц в состоянии Хойла в диссоциации ядер ^{14}N и ^{28}Si . Будет исследована возможность возникновения изобар-аналоговых состояний во фрагментации легких ядер.

Будет выполнено облучение стопок ЯЭ в чистом пучке мюонов в ЦЕРН и начат анализ фрагментации ядер из состава ЯЭ.

[Clusters in Nuclei, Volume 3](#) pp 51-93 | [Cite as](#)

“Tomography” of the Cluster Structure of Light Nuclei via Relativistic Dissociation

Authors

[Authors and affiliations](#)

P. I. Zarubin 

Chapter

18

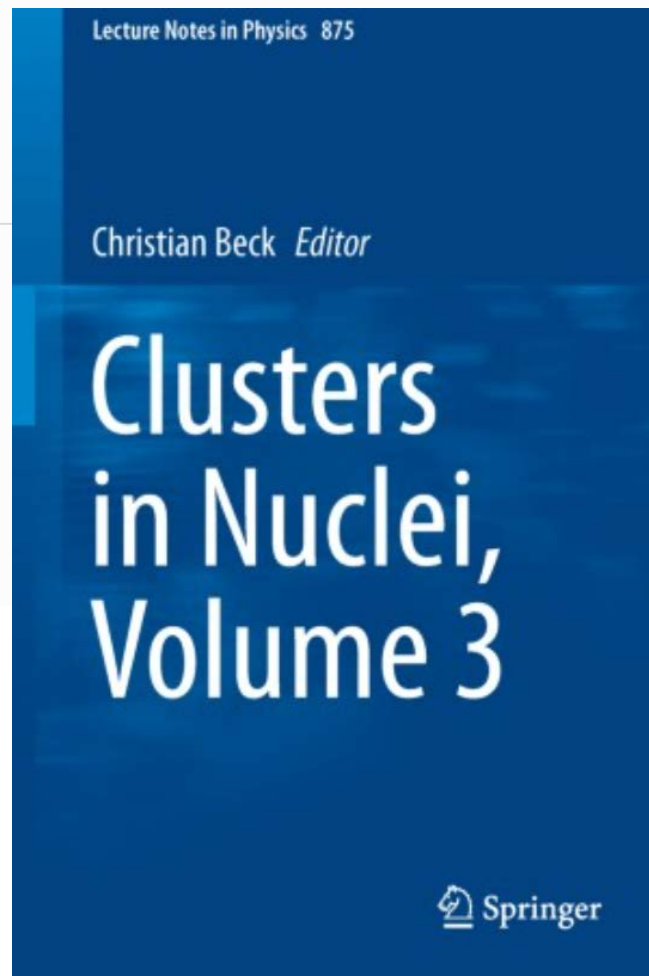
1

1k

Citations

Mentions

Downloads



The Hoyle State in Relativistic ^{12}C Dissociation

Authors

Authors and affiliations

D. A. Artemenkov, M. Haiduc, N. K. Kornegrutsa, E. Mitsova, N. G. Peresadko, V. V. Rusakova, R. Stanoeva, A. A. Zaitsev,
P. I. Zarubin , I. G. Zarubina

Springer Proceedings in Physics 238

Conference paper

First Online: 07 January 2020

2

613

Citations Downloads

N. A. Orr
M. Ploszajczak
F. M. Marqués
J. Carbonell *Editors*



Recent Progress in Few-Body Physics

Proceedings of the 22nd International
Conference on Few-Body Problems in
Physics

The European Physical Journal A

Light Clusters in Nuclei and Nuclear Matter: Nuclear Structure and Decay, Heavy Ion Collisions, and Astrophysics

David Blaschke, Hisashi Horiuchi, Masaaki Kimura, Gerd Roepke and Peter Schuck

Regular Article - Experimental Physics | Published: 06 October 2020

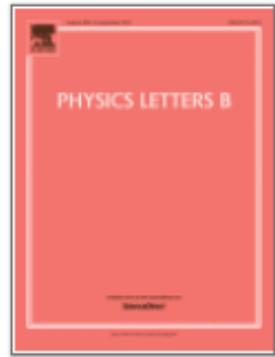
Unstable states in dissociation of relativistic nuclei

Recent findings and prospects of research

D. A. Artemenkov, V. Bradnova, M. M. Chernyavsky, E. Firu, M. Haiduc, N. K. Kornegrutsa, A. I. Malakhov, E. Mitsova, A. Neagu, N. G. Peresadko, V. V. Rusakova, R. Stanoeva, A. A. Zaitsev, P. I. Zarubin  & I. G. Zarubina

The European Physical Journal A **56**, Article number: 250 (2020) | [Cite this article](#)

289 Accesses | 2 Citations | [Metrics](#)



Correlation in formation of ${}^8\text{Be}$ nuclei and α -particles in fragmentation of relativistic nuclei

A.A. Zaitsev ^{a, b}  , D.A. Artemenkov ^a, V.V. Glagolev ^a, M.M. Chernyavsky ^b,
N.G. Peresadko ^b, V.V. Rusakova ^a, P.I. Zarubin ^{a, b}

**Смета затрат по проекту Эксперимент БЕККЕРЕЛЬ на ускорительном комплексе
НУКЛОТРОН/NICA (Проект БЕККЕРЕЛЬ2022)**

НН пп	Наименование статей затрат	Полная стоимость	2023 г.	2024 г.	2025 г.
	Прямые расходы на Проект				
1.	Ускоритель, час.	150	50	50	50
2.	ЭВМ				
3.	Компьютерная связь, тыс. долл.				
4.	Конструкторское бюро	нормо-час			
5.	Опытное производство	нормо-час			
6.	Материалы, тыс. долл.	30	10	10	10
7.	Оборудование, микроскоп BX53 тыс. долл.	55	45	5	5
8.	Строительство/ремонт помещений, тыс. долл.				
9.	Оплата НИР, выполняемых по договорам, тыс. долл.	60	20	20	20
10.	Командировочные расходы, тыс. долл., в т.ч.	120	40	40	40
	а) в страны нерублевой зоны	60	20	20	20
	б) в города стран рублевой зоны	60	20	20	20
	в) по протоколам				
	Итого по прямым расходам:	265	115	75	75

РУКОВОДИТЕЛЬ ПРОЕКТА

ДИРЕКТОР ЛАБОРАТОРИИ

ВЕДУЩИЙ ИНЖЕНЕР-ЭКОНОМИСТ ЛАБОРАТОРИИ

№	Имя, степень, должность	Обязанности	FTE
1.	Зарубин П. И. дфмн начальник сектора	Руководитель проекта	1.0
2.	Русакова В. В. кфмн начальник группы	Координация поиска и измерений событий лаборантами, обучение на микроскопах	1.0
3.*	Артеменков Д. А. кфмн, снс	Анализ измерений, моделирование взаимодействий, обучение на микроскопах	1.0
4.	Зарубина И. Г. инженер	Анализ данных, веб-сайт, видео	1.0
5.*	Зайцев А. А. кфмн нс	Измерения на микроскопах, анализ и представление данных, обучение на микроскопах	1.0
6.*	Корнегруца Н. К. инженер	Измерения на микроскопах, анализ данных	1.0
7.*	Мицова Э. мнс	Измерения на микроскопах, анализ данных	1.0
8.	Браднова В. Начальник группы	Проявка ЯЭ, развитие технологии ЯЭ	1.0
9.	Кондратьева Н. В. инженер	Проявка ЯЭ, развитие технологии ЯЭ	1.0
10.	Куликова Л. И. лаборант	Проявка ЯЭ	1.0
11.	Стельмах Г. И.	Набор статистики	1.0
12.	Номозова К. Б. инженер	Набор статистики, измерения на микроскопах,	1.0
13.	Щербакова Н. С. лаборант	Набор статистики	1.0
14.	Марьин И. И.техник	Обслуживание микроскопов, обучение ЯЭ	1.0
		Σ	14.0

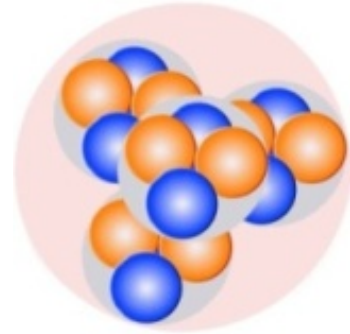
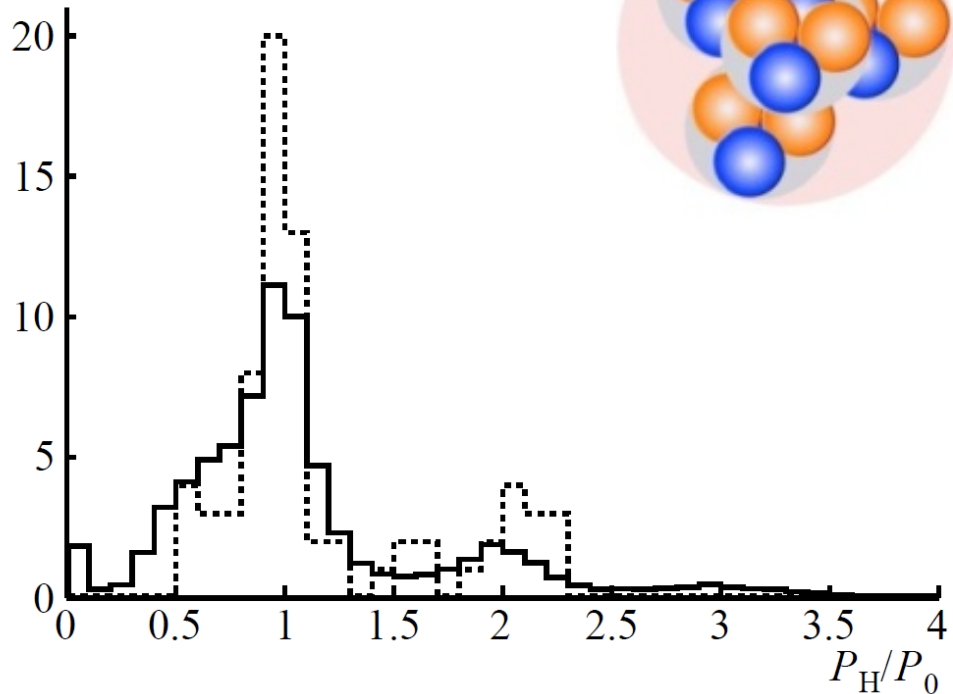
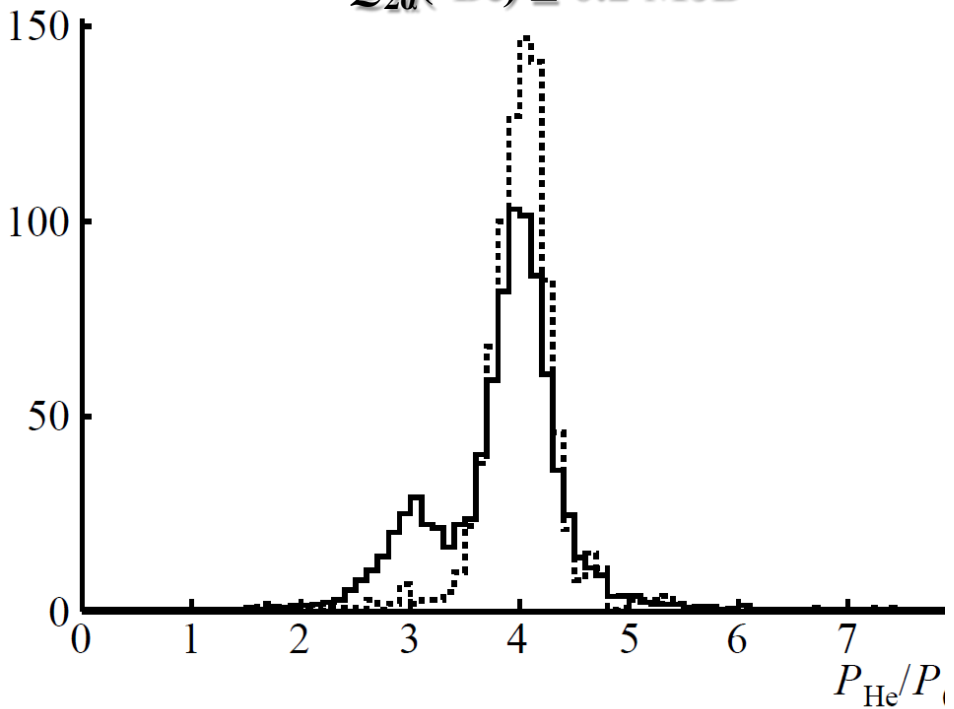
Следующие аспекты составляют сильные стороны проекта:

- ясно сформулированные задачи исследования, по фундаментальным проблемам современной ядерной физики;
- опора на собственную научно-методическую культуру применения ЯЭ;
- сочетание уникального разрешения ЯЭ и возможностей на современных ускорителях;
- наличие исследовательской основы в виде микроскопов и химической лаборатории;
- полное владение сотрудниками ЛФВЭ хорошо проверенной методикой, включая облучение и проявку слоев, поиск событий и их измерения;
- ясно понимаемые перспективы автоматизации измерений на микроскопах;
- возможности для молодых исследователей в освоении динамики релятивистских ядерных столкновений и самостоятельном решении поставленных задач;
- наличие начального научного «капитала» в виде слоев, превосходно облученных в ОИЯИ, BNL, CERN;
- налаженное сотрудничество с производителем;
- невысокая стоимость и гибкость в следовании развитию комплекса НИКА;
- возможность «физики на расстоянии»;

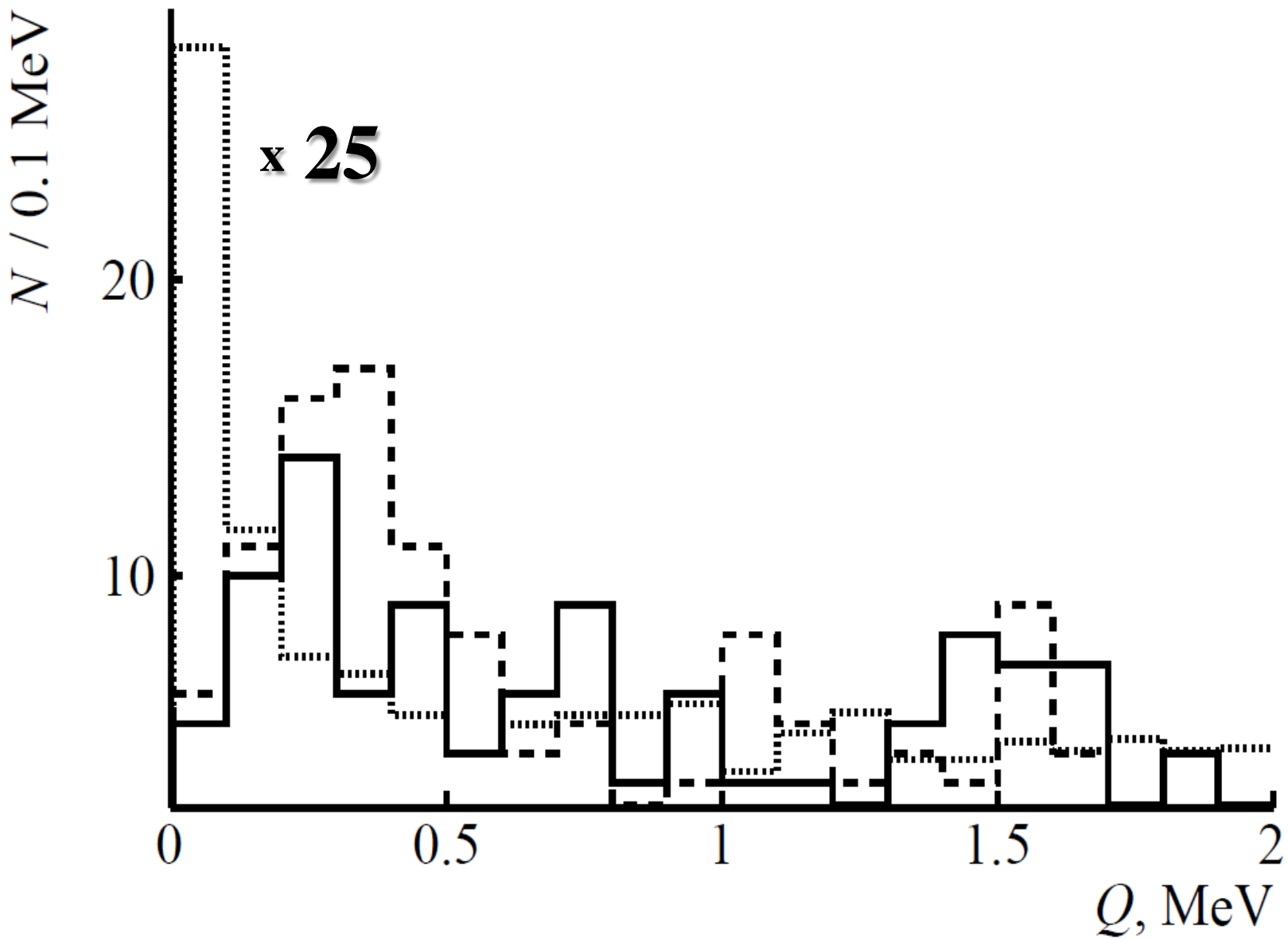
Практической проблемой проекта является налаживание производителем производства толстослойных бесподложечных слоев. Другой проблемой является уход от широкого применения этой методики. Осуществление целей проекта будет способствовать полному восстановлению классической методики ядерного эксперимента, которая уже считалась утраченной.

Ориентация проекта на наглядную и доступную методику позволит привлечь к проекту NICA более широкий круг студентов естественнонаучных специальностей, в том числе педагогического профиля. Не возникает особых вопросов технической и радиационной безопасности.

$Q_{2\alpha}(^8\text{Be}) \leq 0.2 \text{ МэВ}$

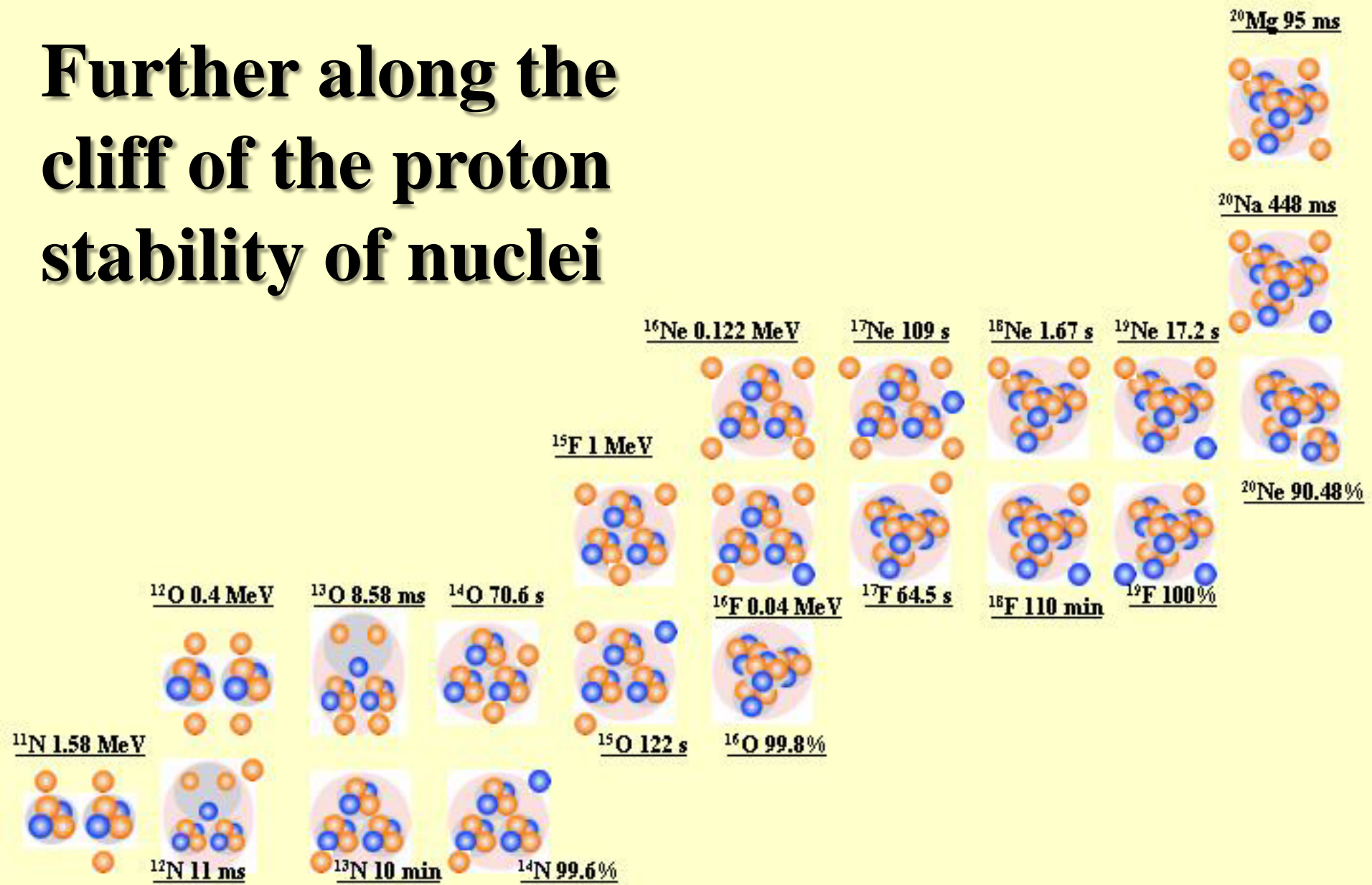


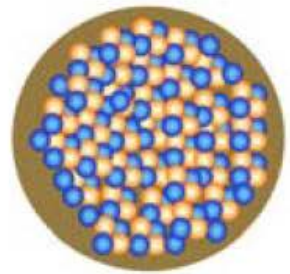
Проверить принятые приближения позволяют данные, полученные при облучении ядрами ${}^{16}\text{O}$ с энергией 2.4 ГэВ/нуклон 1-метровой водородной пузырьковой камеры ОИЯИ (ВПК-100), помещавшейся в магнитное поле. Набор данных включает измерения в полной геометрии векторов импульсов продуктов реакции ${}^{16}\text{O} + p$ в 11104 соударениях всех видов. В этом случае также имеется пик в начальной части распределений по углу разлета 2α -пар $\Theta_{2\alpha}$, соответствующий распадам ${}^8\text{Be}$. Согласно измеренным импульсам фрагментов условие $Q_{2\alpha}(^8\text{Be}) \leq 0.2 \text{ МэВ}$ удаляет вклад ${}^3\text{He}$, а вклад протонов составляет 90% среди фрагментов H.



Распределение событий фрагментации ядер ^{16}O с импульсом 2.4 ГэВ/нуклон на протонах по инвариантным массам всех 2 α -пар $Q_{2\alpha}$ (точки), 2 αp -троек $Q_{2\alpha p}$ (пунктир) и 3 α -троек $Q_{3\alpha}$ (сплошная).

Further along the cliff of the proton stability of nuclei

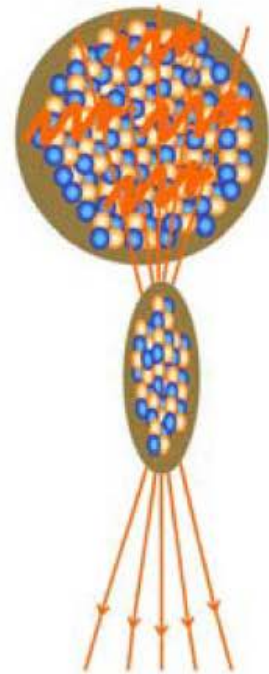




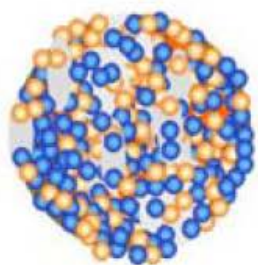
1)



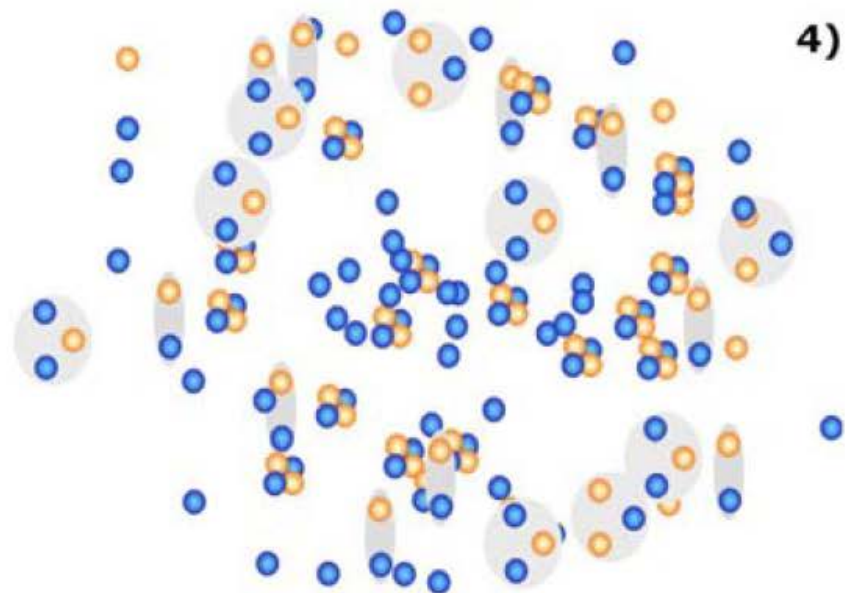
2)

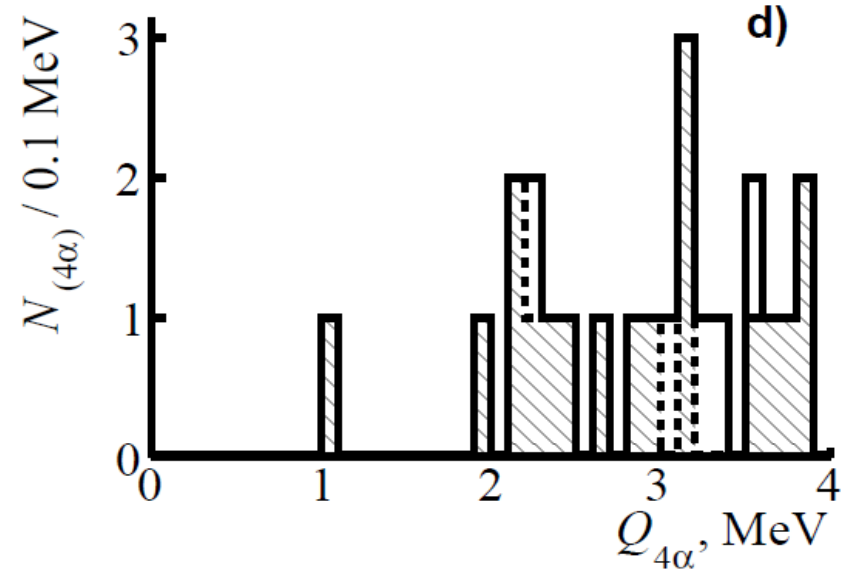
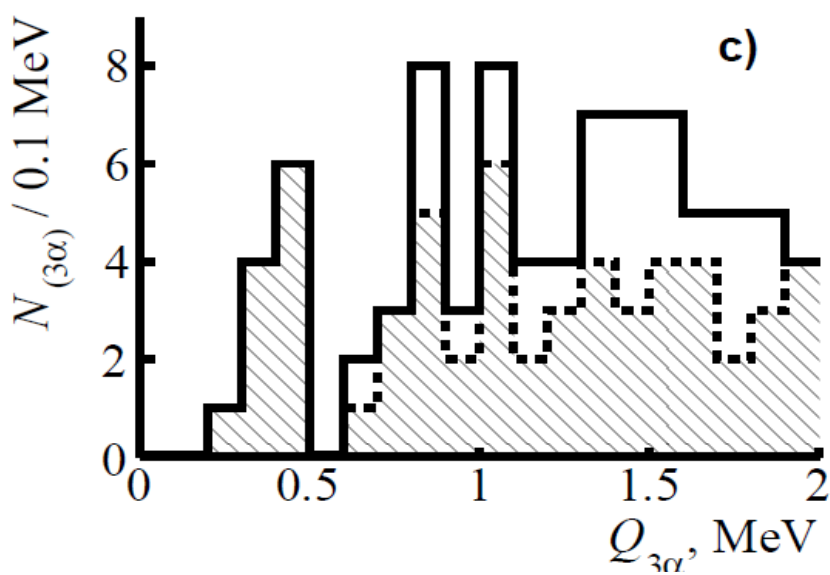
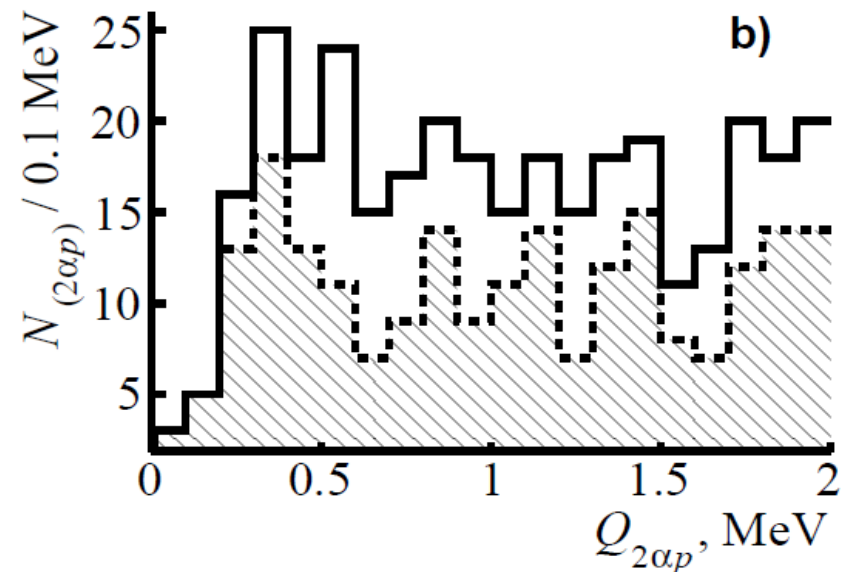
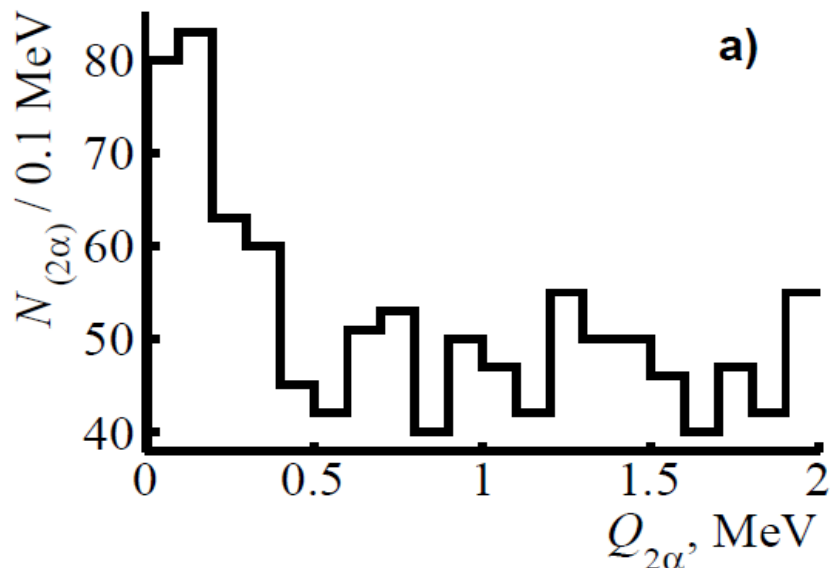


3)



4)





Распределения по инвариантным массам Q 2α -пар (а) во фрагментации ядер ^{197}Au , а также $2\alpha p$ -троек (б), 3α -троек (с) и 4α -четверок (д) в событиях с хотя бы одним кандидатом ^{8}Be согласно $Q_{2\alpha}(^{8}\text{Be}) \leq 0.4 \text{ МэВ}$ (сплошная) и $\leq 0.2 \text{ МэВ}$ (заштриховано).

E_x (MeV ± keV)	$J^\pi; T$	$\Gamma_{\text{c.m.}}$ (keV)	Decay
g.s.	$\frac{1}{2}^-; \frac{1}{2}$	$\tau_{1/2} = 9.965 \pm 0.004$ min	β^+ $\frac{9.495}{^{9}\text{B} + \alpha}$
10.25 ± 150	$(\frac{1}{2}^+)$	≈ 280	γ, p
10.36	$\frac{5}{2}^-$	30	p
10.36	$\frac{7}{2}^-$	76	p
10.833 ± 9	$\frac{1}{2}^-$		
11.530 ± 12	$\frac{5}{2}^+$	430 ± 35	p
11.70 ± 30	$\frac{5}{2}^-$	115 ± 30	p
11.74 ± 40	$\frac{3}{2}^+$	240 ± 30	γ, p
11.74 ± 50	$\frac{3}{2}^-$	530 ± 80	p
11.86 ± 40	$\frac{1}{2}^+$	380 ± 50	p
12.13 ± 50	$\frac{7}{2}^-$	250 ± 30	p
12.558 ± 23		> 400	
12.937 ± 24		> 400	
13.5 ± 200	$\frac{3}{2}^+$	≈ 6500	γ, p
14.05 ± 20	$\frac{3}{2}^+; \frac{1}{2}$	165 ± 20	γ, p, α
15.06457 ± 0.4 ^b	$\frac{3}{2}^-; \frac{3}{2}$	0.86 ± 0.12	γ, p, α
15.3 ± 200	$(\frac{3}{2}^+)$	350 ± 150	γ, p
15.99 ± 30	$\frac{7}{2}^+; \frac{1}{2}$	135 ± 90	p, α
16.0		≈ 500	p
17.5			γ, p

Energy levels of ^{13}N

